

FIG. 1

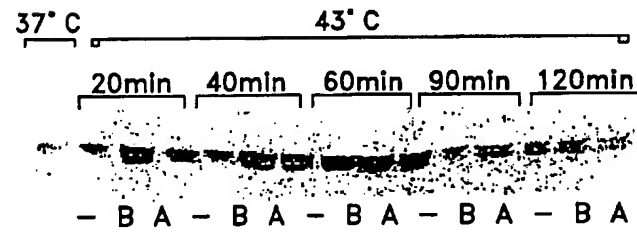
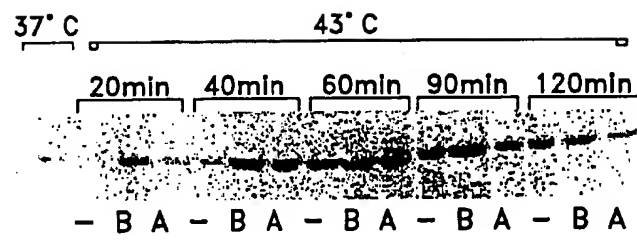
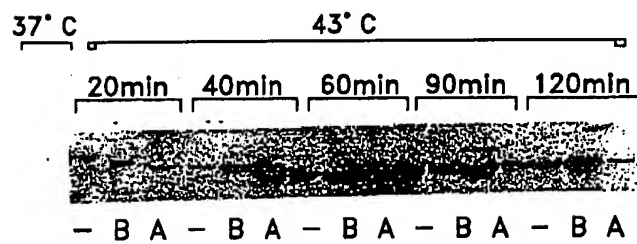
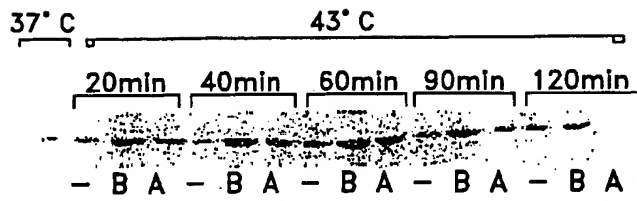


FIG. 2

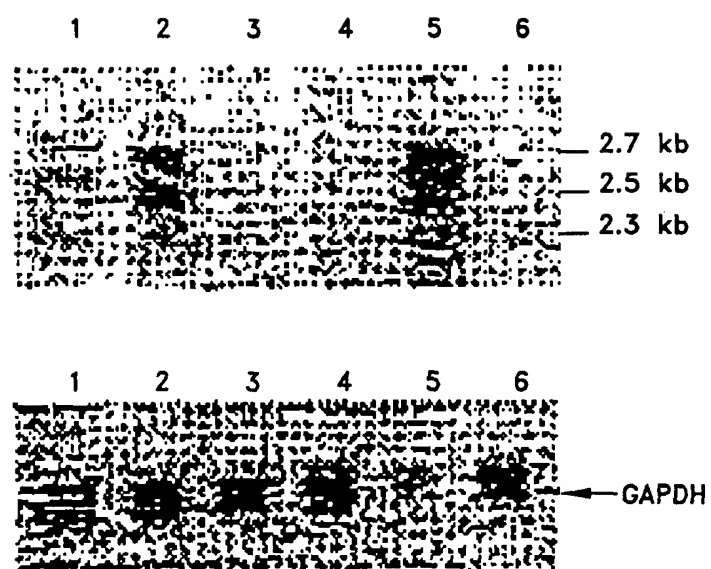


FIG. 3

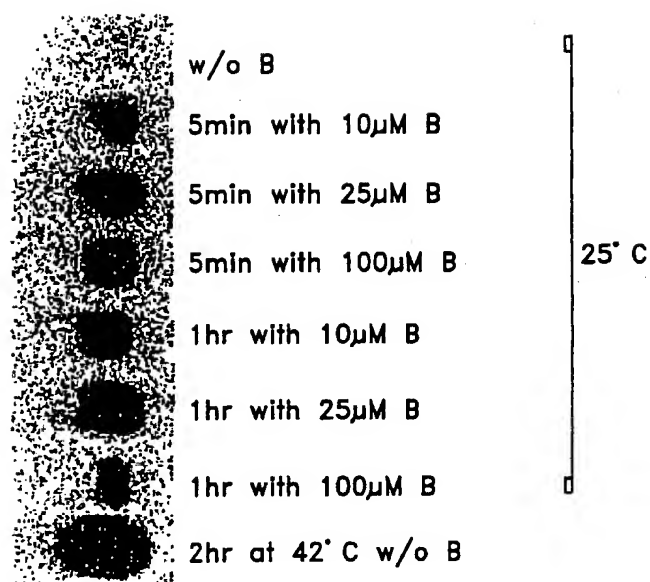


FIG. 4

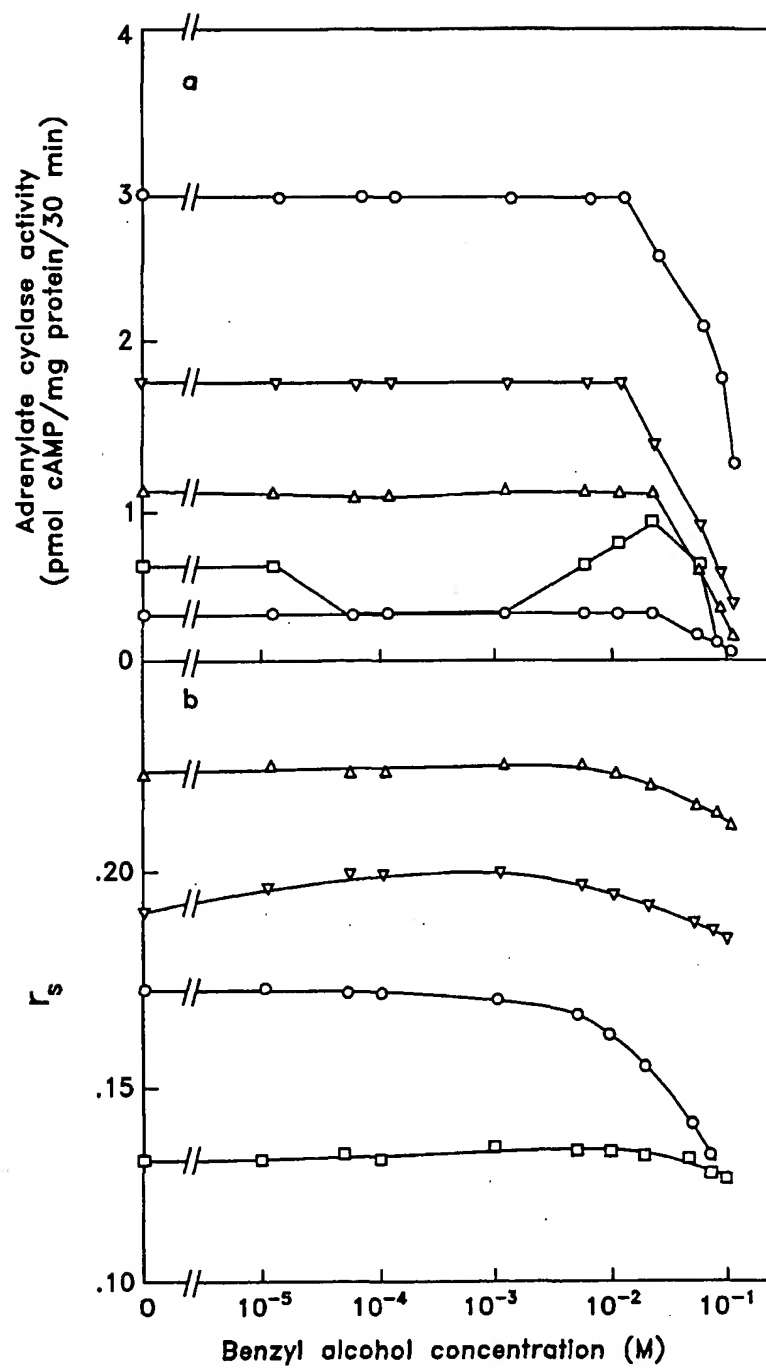


FIG. 5

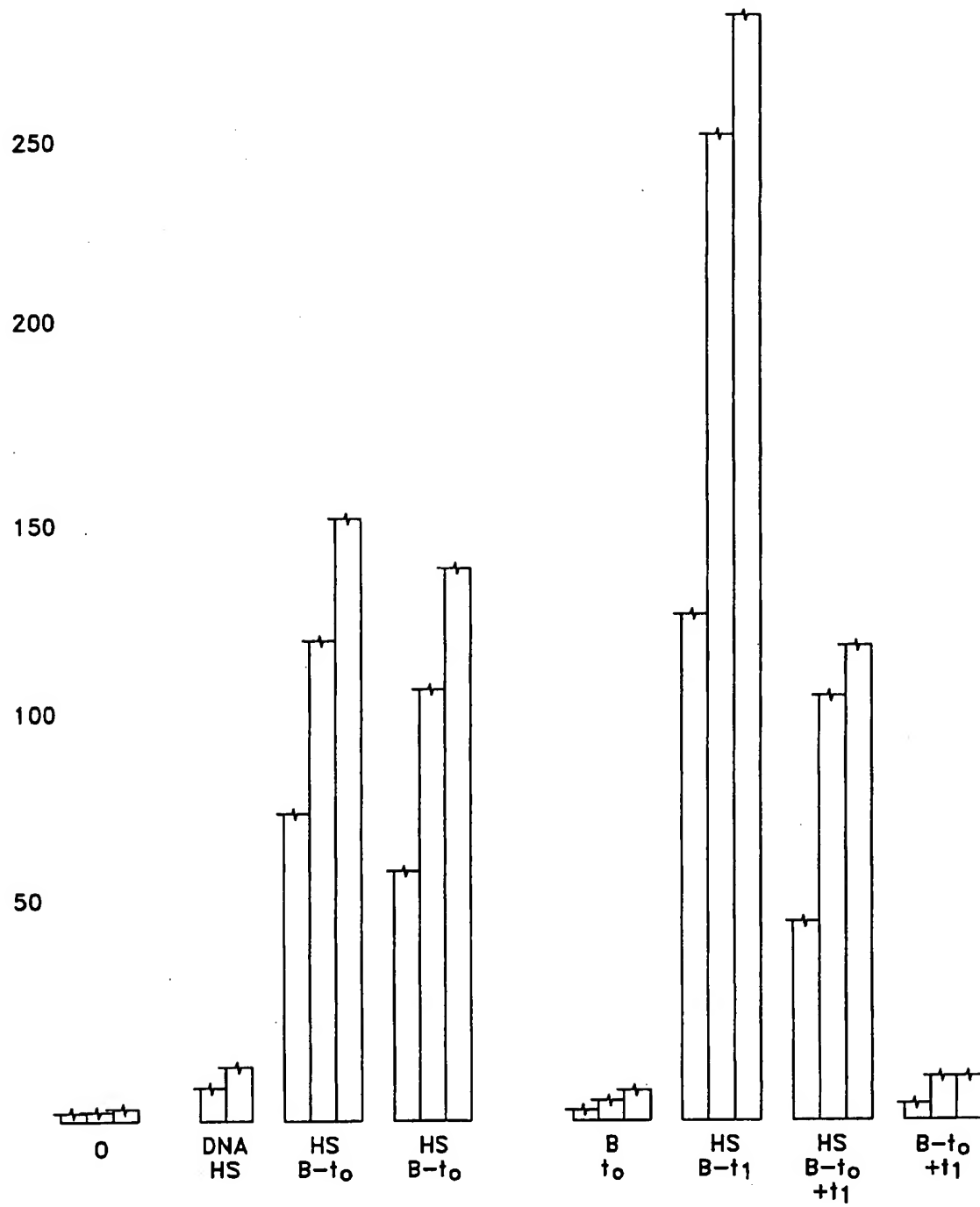


FIG. 6

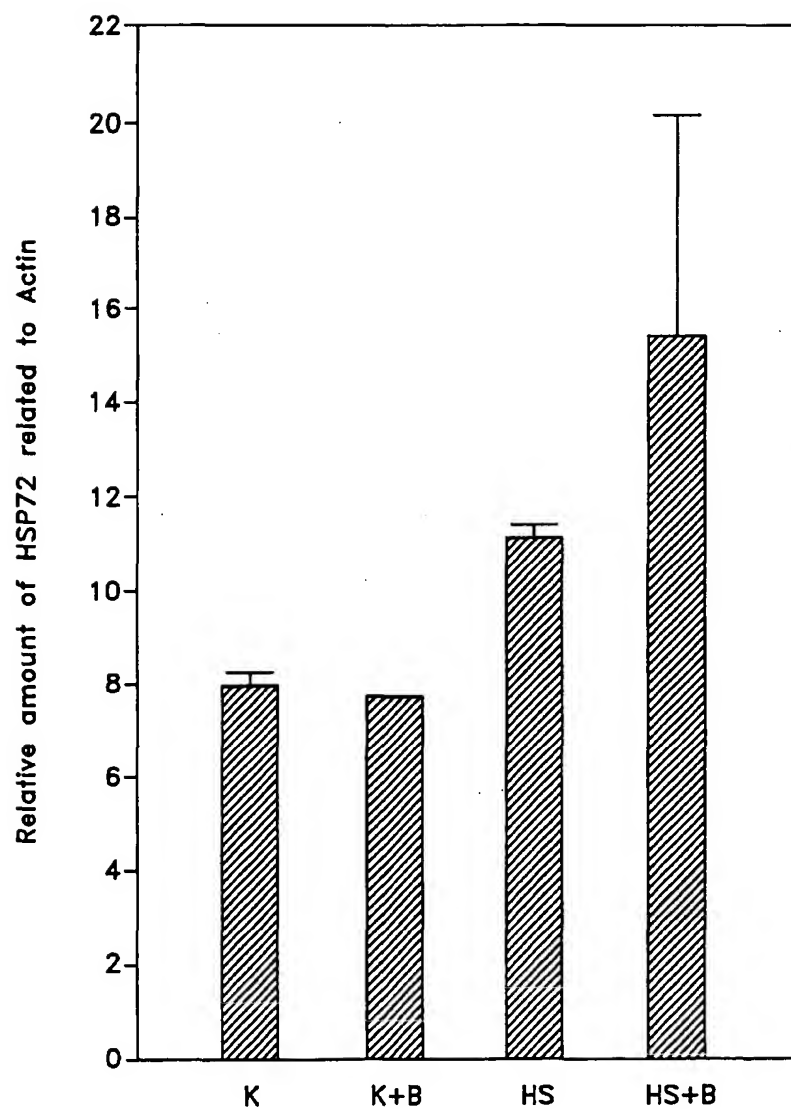


FIG. 7

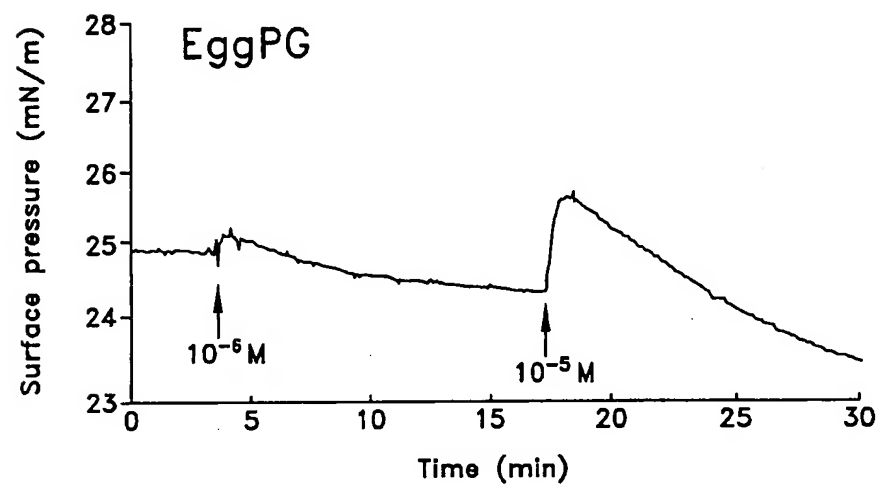
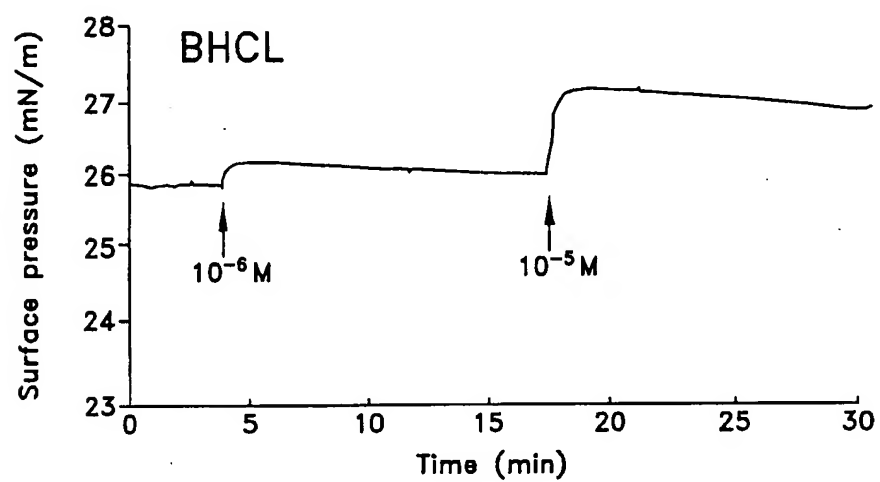
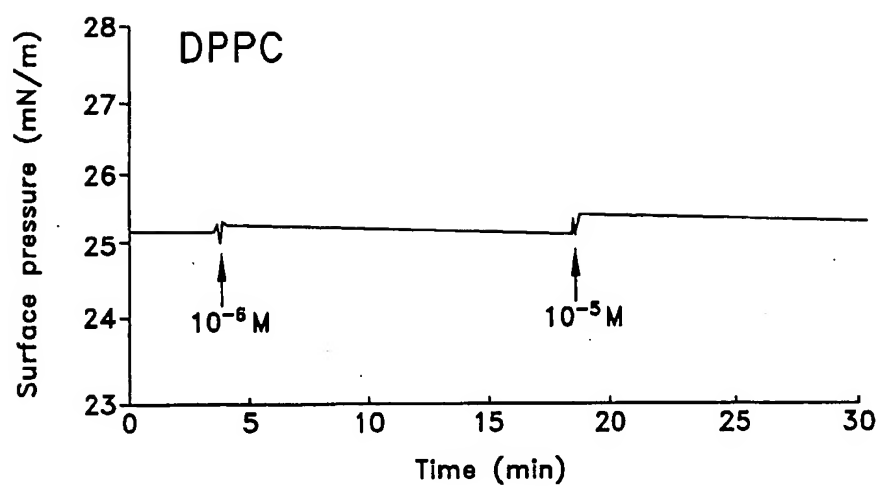


FIG. 8

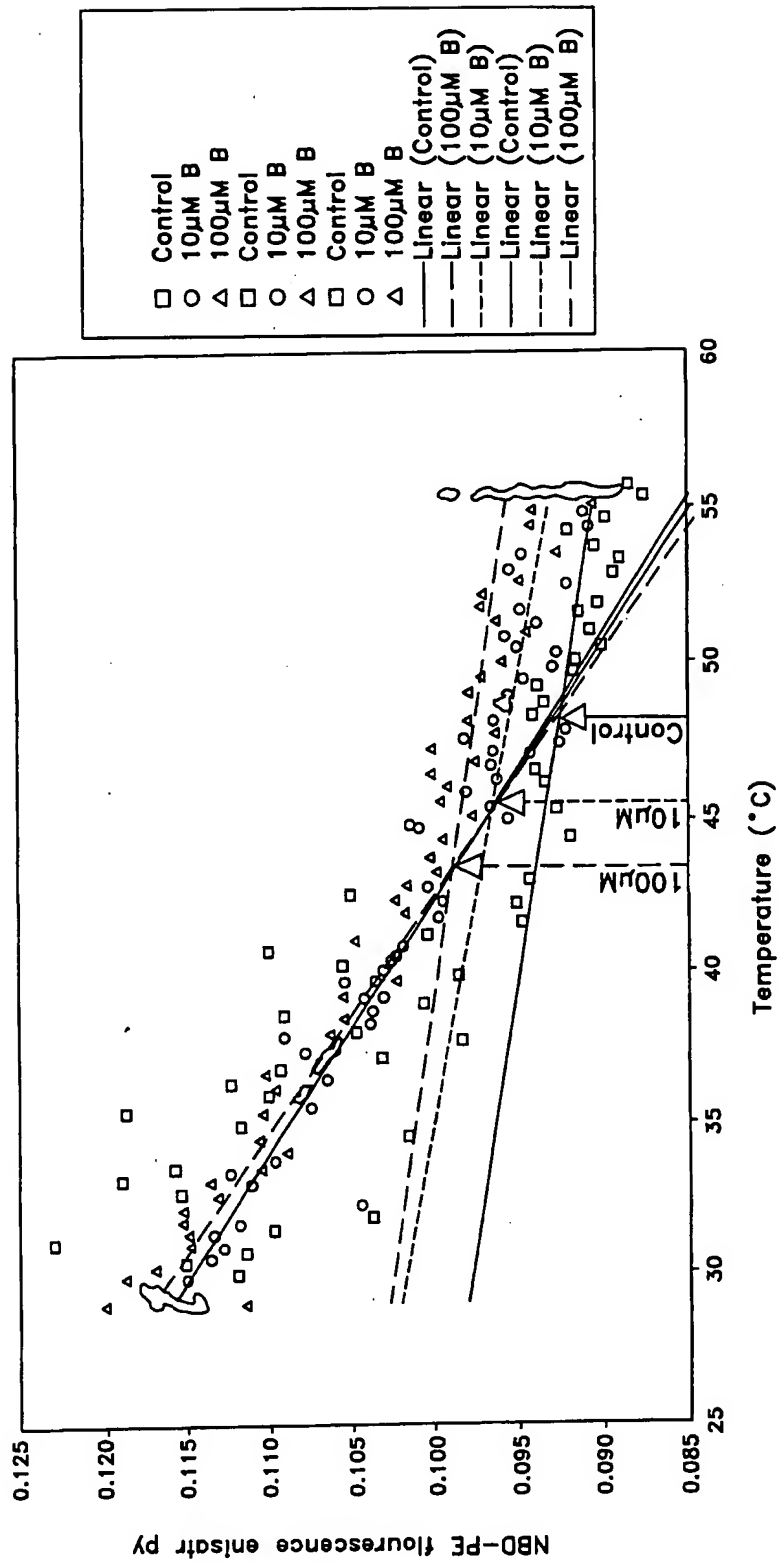


FIG. 9

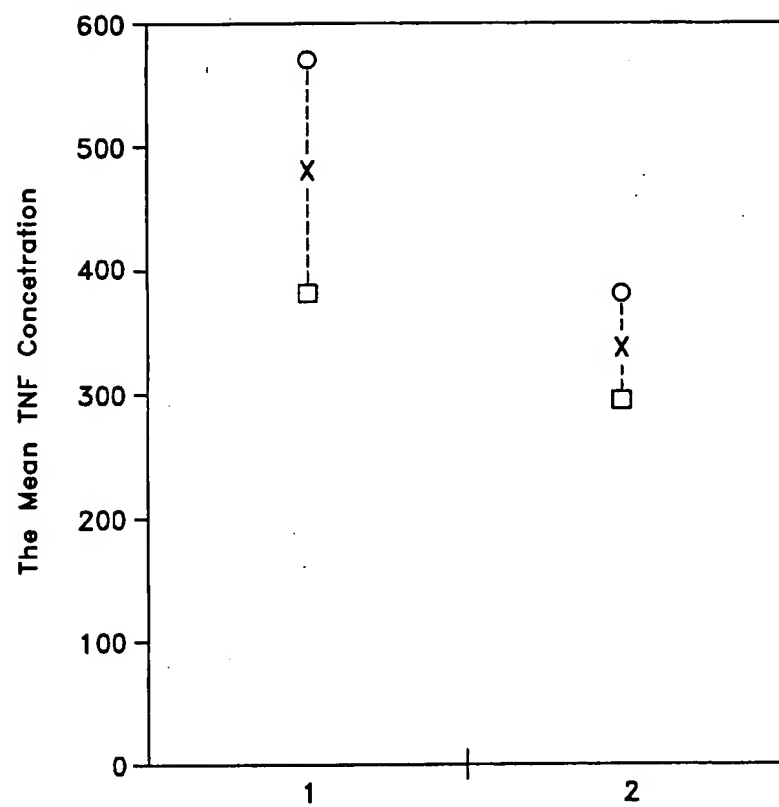


FIG. 10

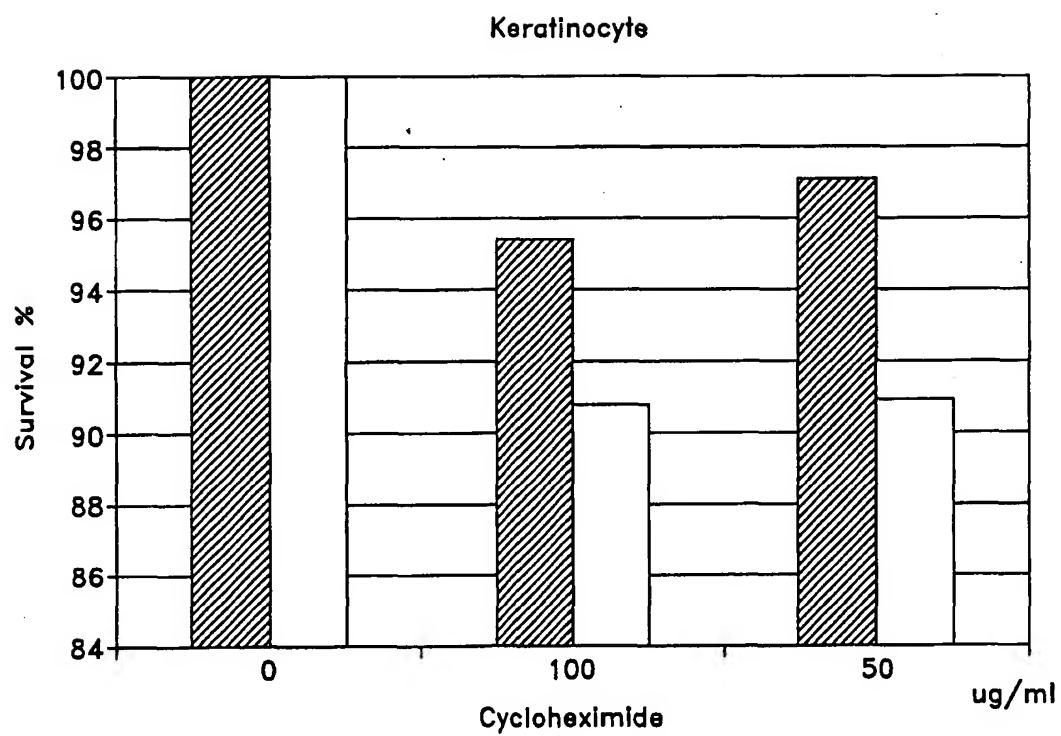


FIG. 11

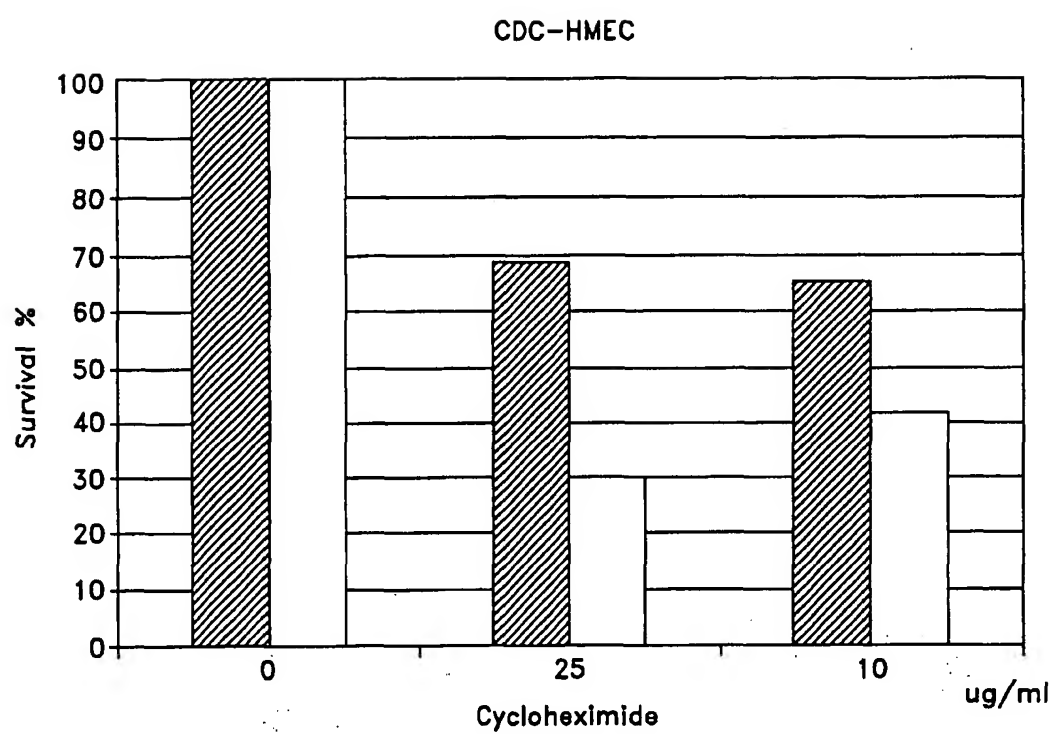


FIG. 12

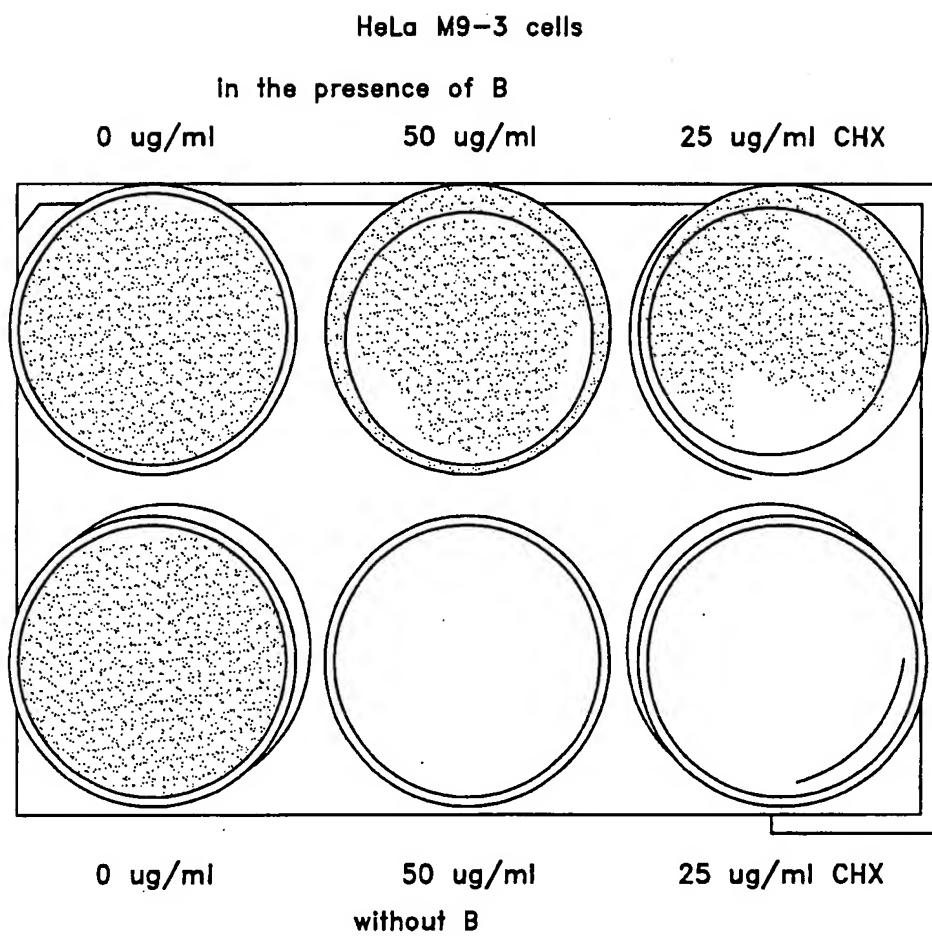


FIG. 13

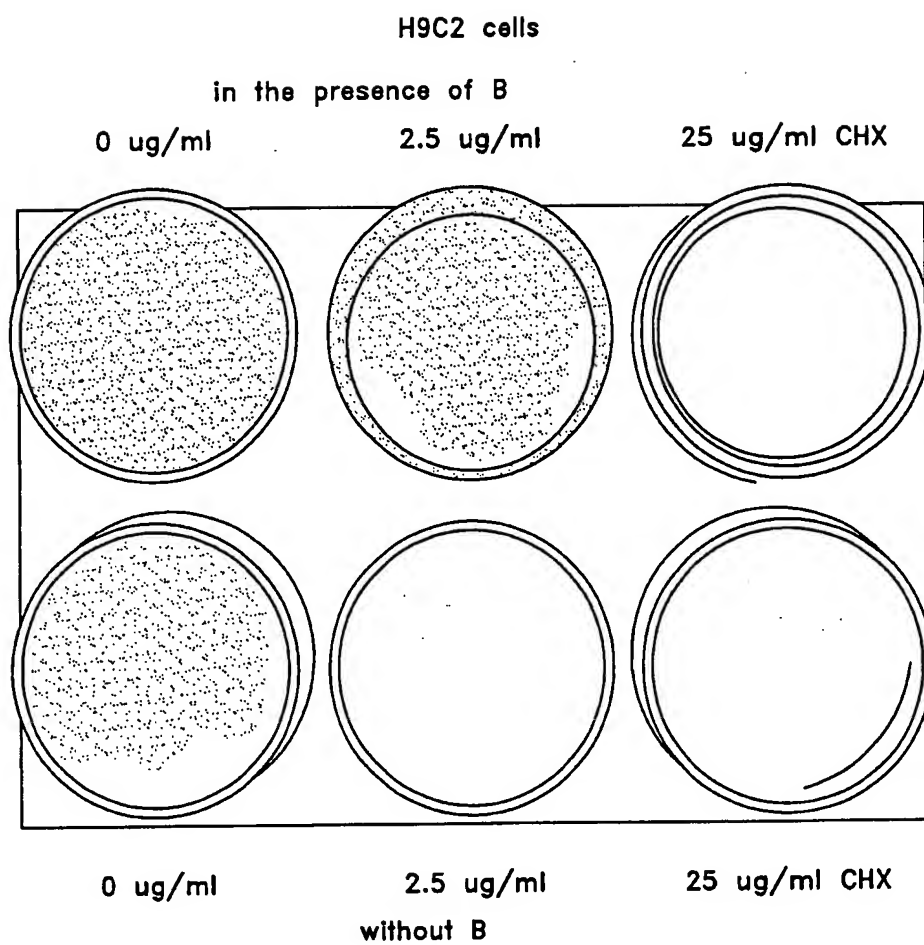


FIG. 14

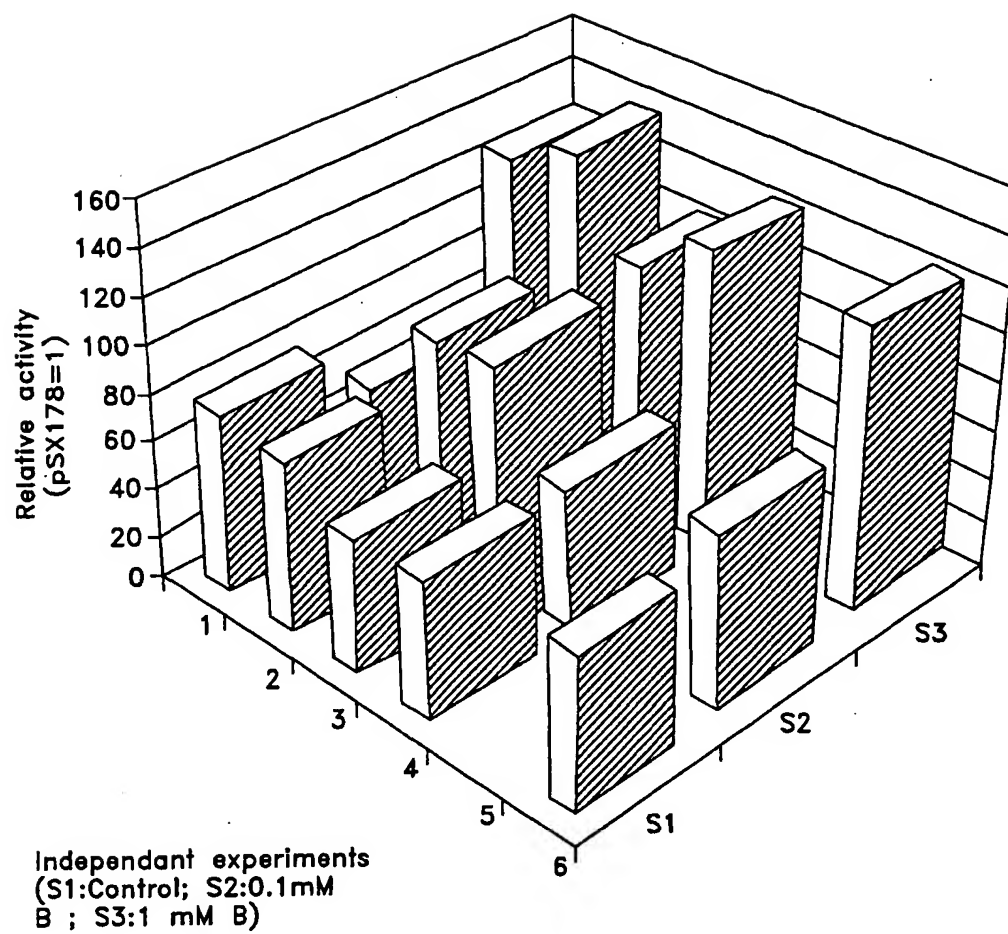


FIG. 15

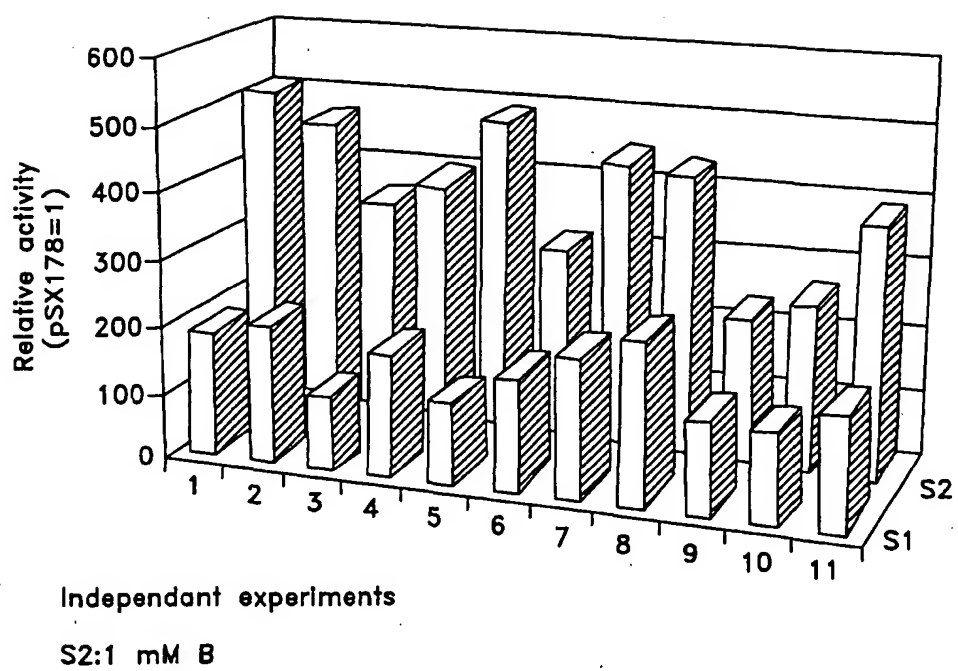
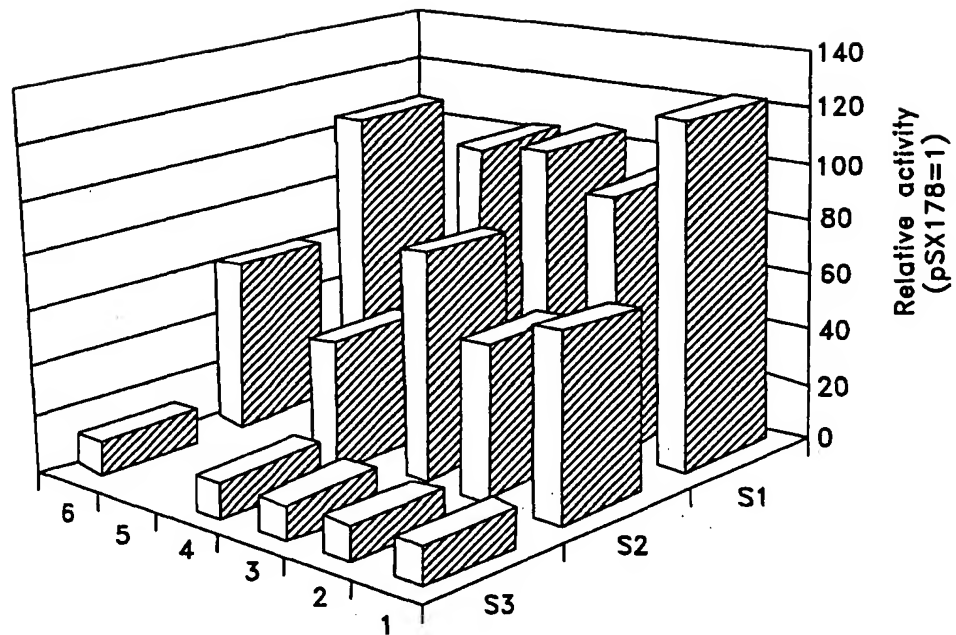


FIG. 16



Independent experiments
 (S1:Control; S2:0.1mM
 B ; S3:1 mM B)

FIG. 17

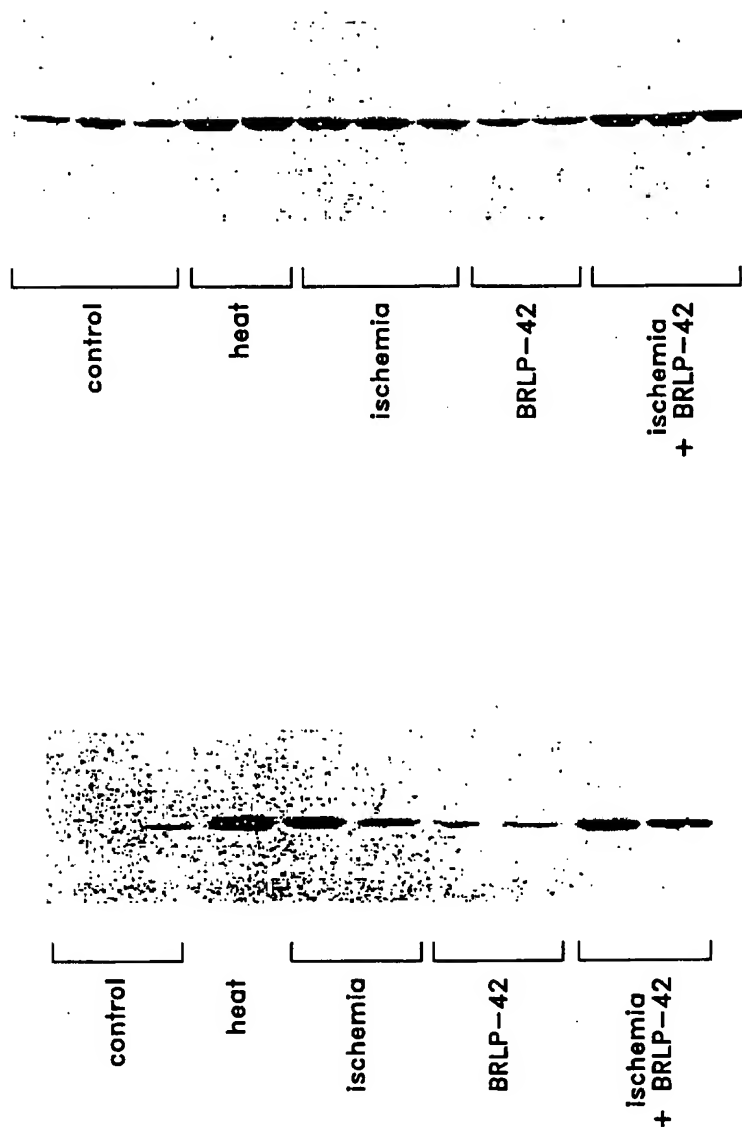


FIG. 18

FIG. 19

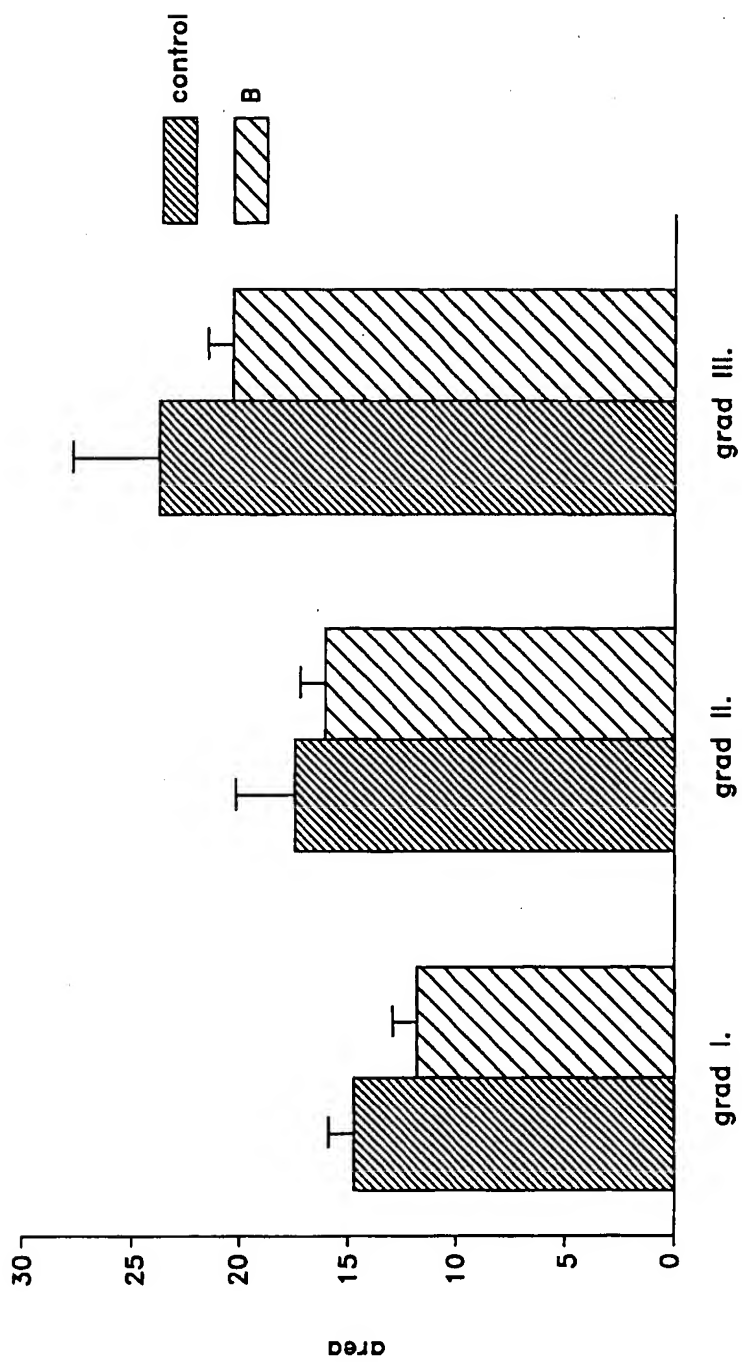


FIG. 20

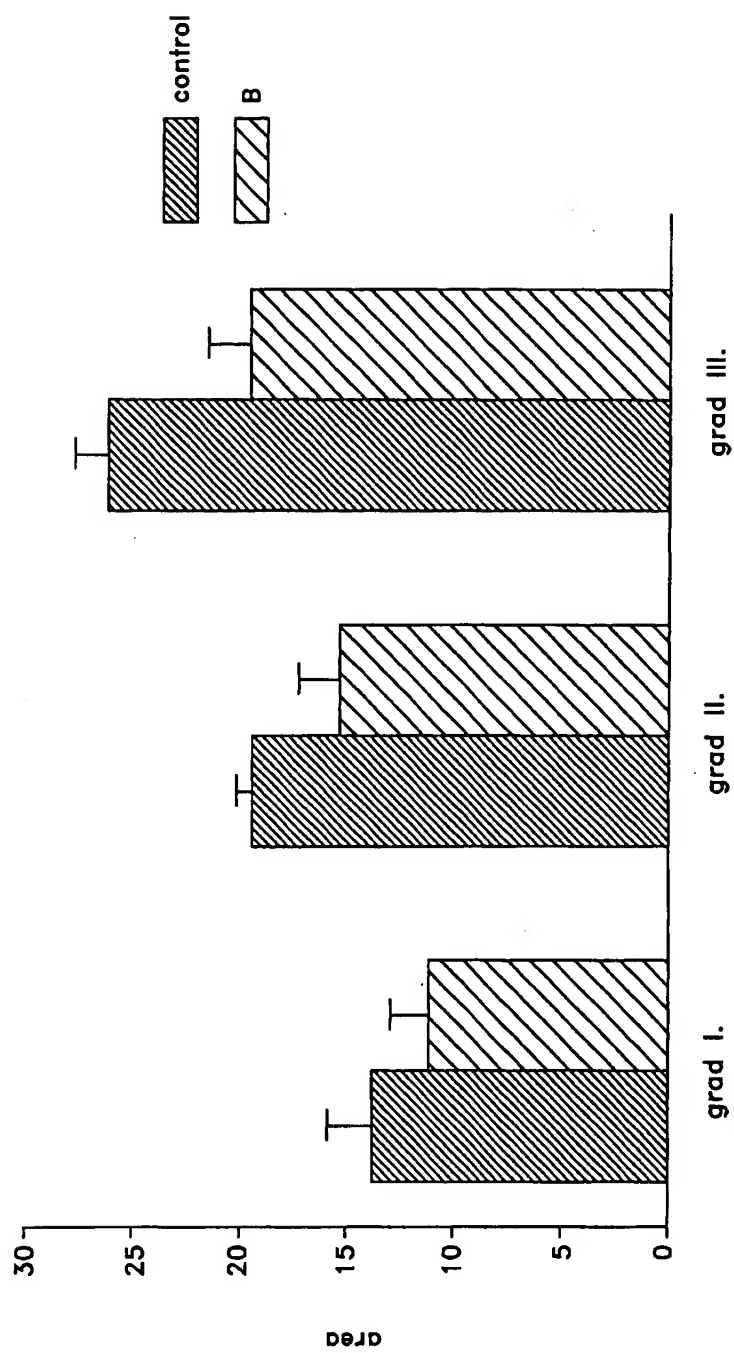


FIG. 21

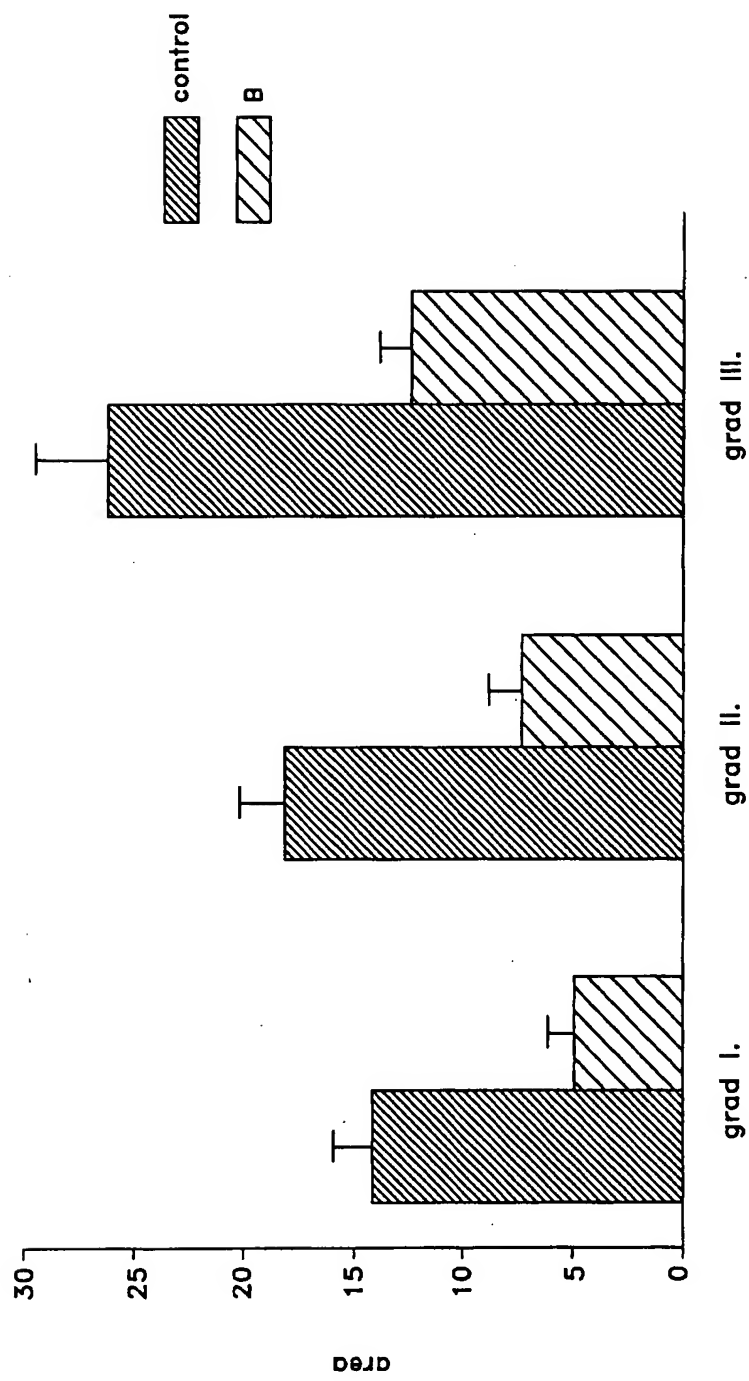


FIG. 22

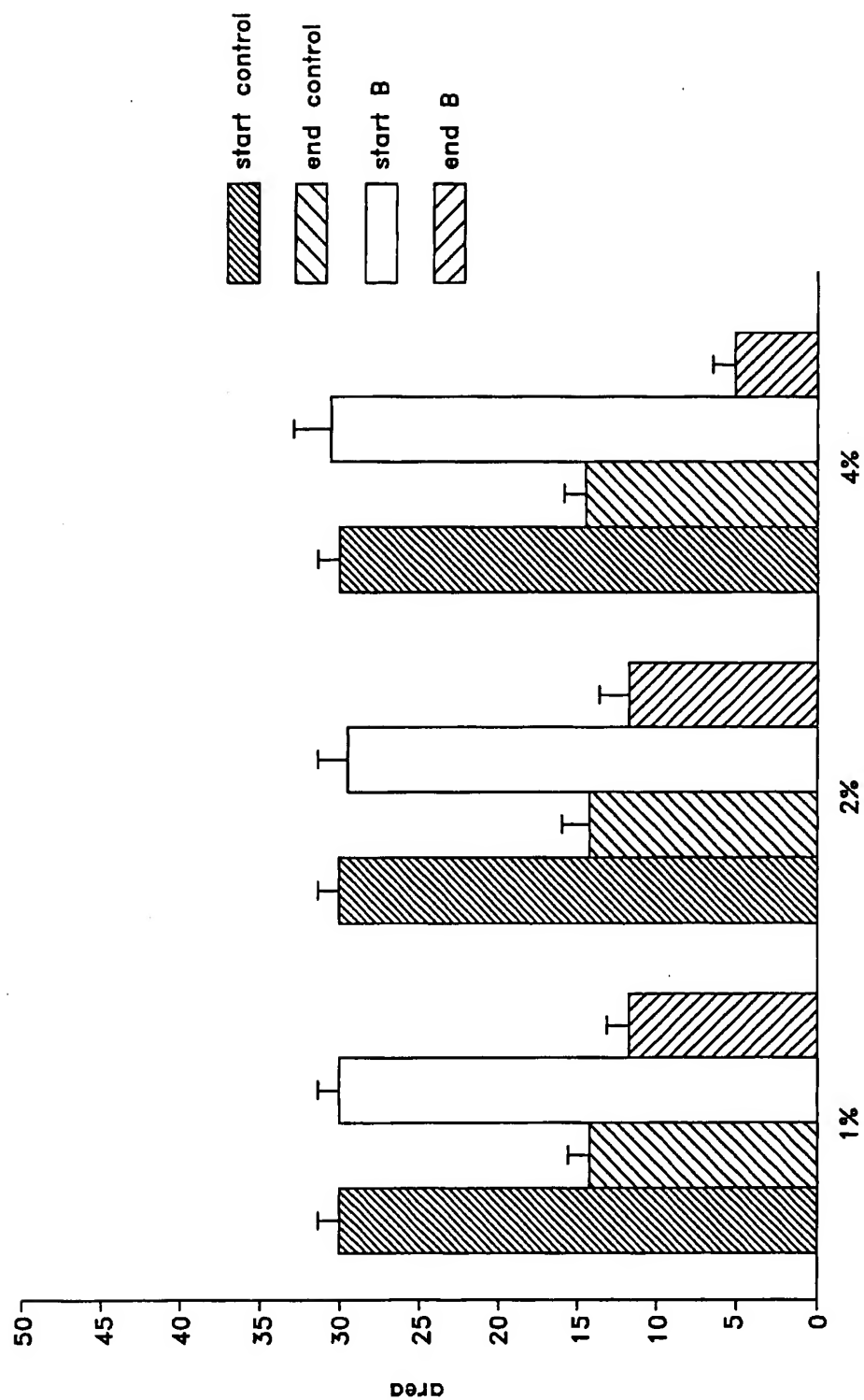


FIG. 23

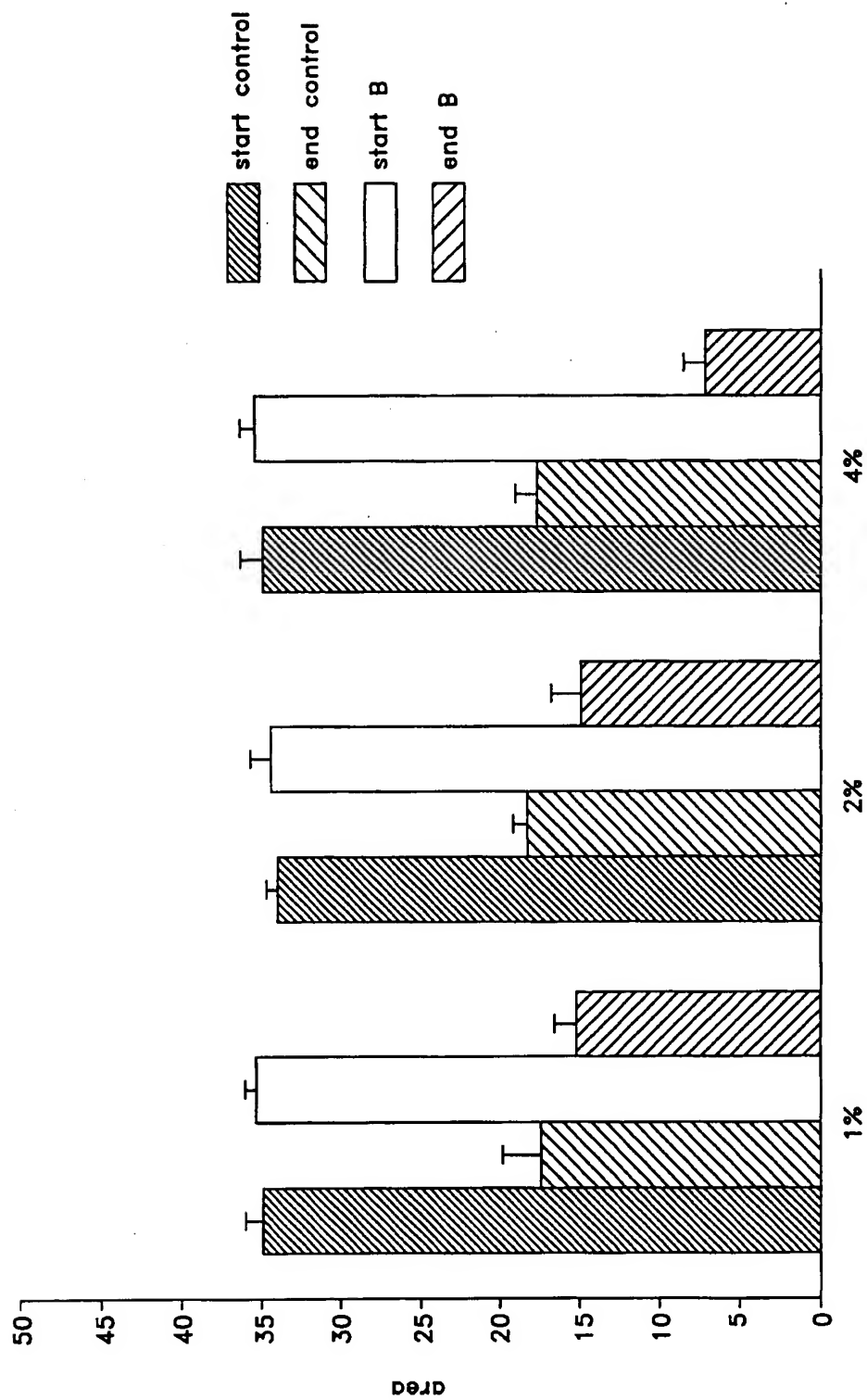


FIG. 24

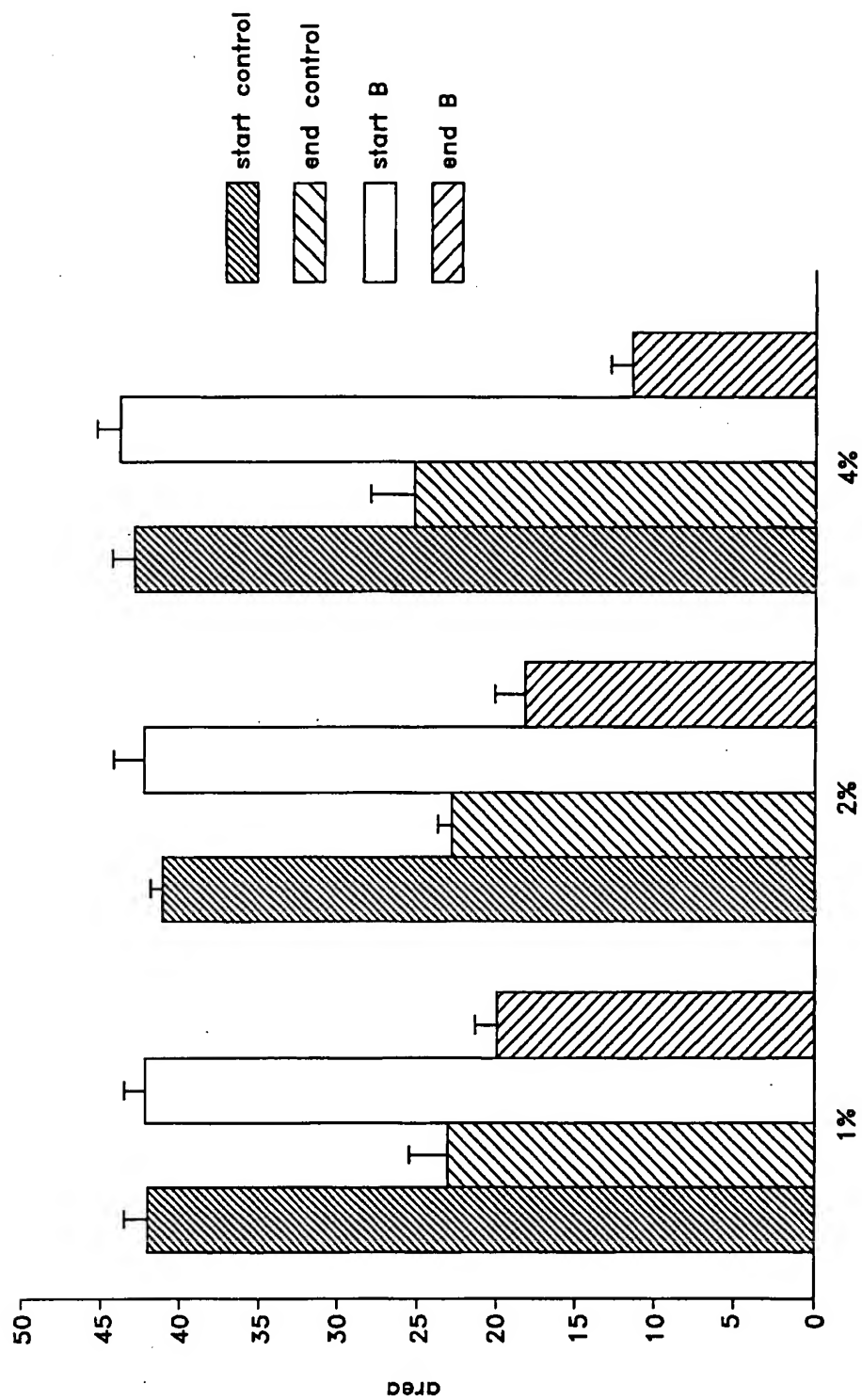


FIG. 25

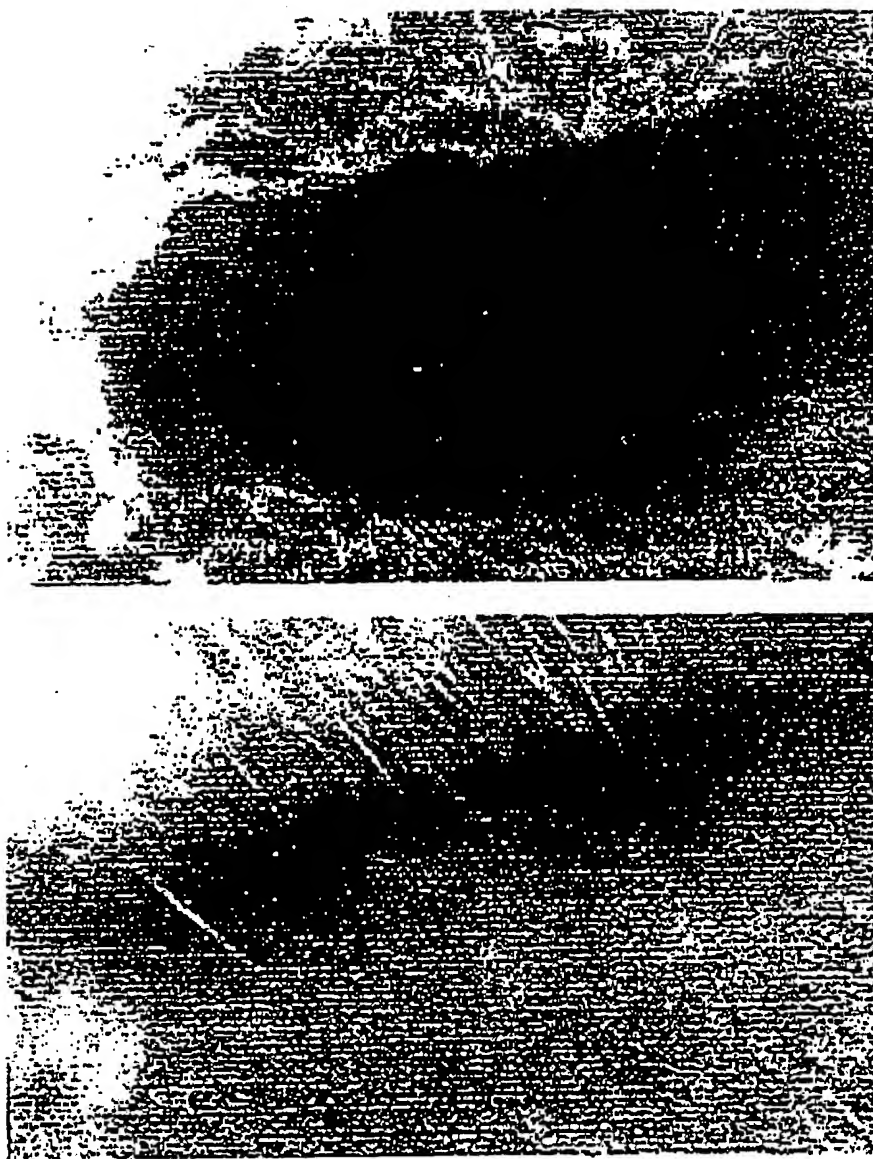


FIG. 26

BEST AVAILABLE COPY

4% B

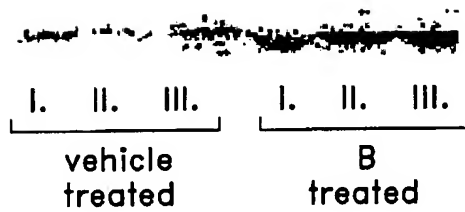
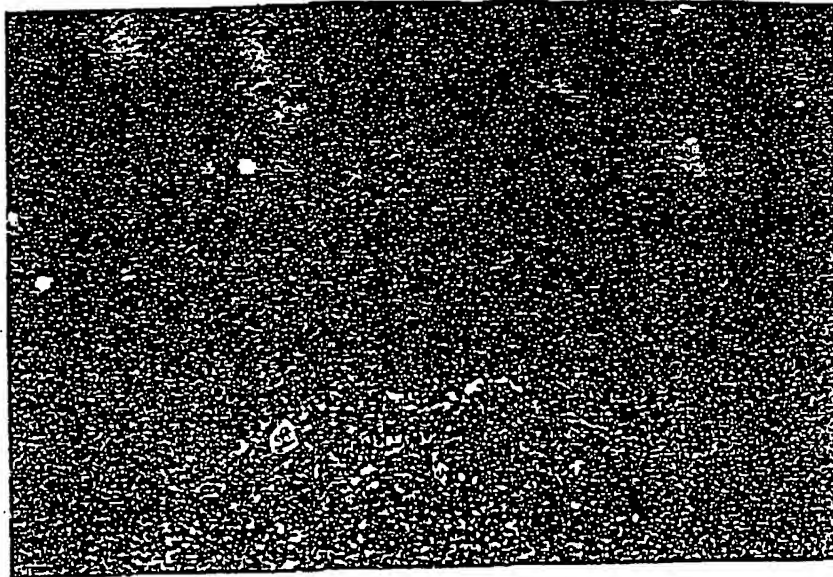


FIG. 27



Vehicle



B

FIG. 28

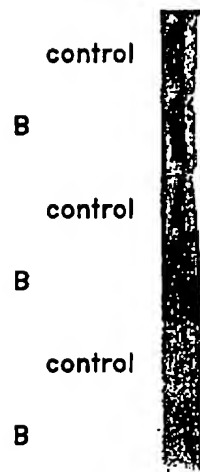


FIG. 29